

## بررسی آزمایشگاهی تأثیر انحنای نسبی کانال بر آبشنستگی بستر در خم ۹۰ درجه

سیدکمال الدین موسوی<sup>۱</sup>، مسعود قدسیان<sup>۲\*</sup>

۱- دانش آموخته کارشناسی ارشد مهندسی عمران آب، دانشکده عمران و محیط زیست، دانشگاه تربیت مدرس

۲- استاد هیدرولیک، پژوهشکده مهندسی آب و دانشکده عمران و محیط زیست، دانشگاه تربیت مدرس

ghods@modares.ac.ir

(دریافت مقاله: خرداد ۱۳۸۶، پذیرش مقاله: اردیبهشت ۱۳۸۸)

**چکیده** - بیشتر رودخانه‌ها تمایل به مارپیچی شدن و فرسایش ساحل خارجی خود را در محل قوسها دارند. به منظور حفظ پایداری سواحل رودخانه‌ها می‌توان از روش‌های ساماندهی رودخانه استفاده کرد. یکی از مسائل قابل توجه در مهندسی رودخانه، آبشنستگی و تغییرات توپوگرافی بستر رودخانه در محل قوس است. پارامترهای مختلفی بر این پدیده مؤثرند. در این تحقیق برای شناسایی و بررسی تأثیر پارامترهای دبی جریان، عمق نسبی جریان و انحنای نسبی کانال بر ابعاد حفره آبشنستگی، آزمایش‌هایی طراحی و اجرا شد که نتایج به دست آمده، ارائه می‌شود.

**کلید واژگان:** خم ۹۰ درجه، توپوگرافی بستر، عمق آبشنستگی، طول آبشنستگی و عرض آبشنستگی.

### ۱- مقدمه

اظهار داشته‌اند که بیشینه تنش برشی در تیزترین محل خم روی می‌دهد اما روزووسکی<sup>۱</sup> بر اساس مشاهدات صحرایی ملاحظه کرد که بیشینه فرسایش در کنار مقعر، در موقعیت حداقل انحنای نیست بلکه در پایین دست آن (حدود ۱/۵ برابر عرض آبراهه) روی می‌دهد [۱]. وی شبی عرضی بستر را به نسبت عمق جریان و شعاع انحنای مرتبط کرد.

مطالعه در زمینه آبشنستگی از حدود ۱۵۰ سال پیش شروع شده اما بدليل پیچیدگیهای خاص آن، هنوز یکی از موضوعات مورد علاقه محققان هیدرولیک است. محققان نشان داده‌اند که تأثیر جریانهای ثانویه بر آبشنستگی، بسیار مهم و قابل تأمل است و لذا مطالعه در زمینه آبشنستگی با تحقیق در زمینه ساز و کار جریان ثانویه و توزیع تنش برشی و ابعاد حفره آبشنستگی ادامه دارد. بیشتر محققان

1. Rozovski (1957)

خم 90 درجه با مقطع مستطیلی را با نتایج حاصل از کارهای آزمایشگاهی برای مسیری سینوسی با مقطع ذوزنقه‌ای مقایسه کردند. آنان نتیجه گرفتند که فرایند تکامل بستر در خم رودخانه‌ها در صورتی که جریان دائمی باشد و ذرات رسوب یکنواخت فرض شوند، به صورت نمایی با زمان متناسب است و نسبت تناسب نیز به شرایط جریان، هندسه خم و اندازه ذرات رسوب بستگی دارد [7].

ماینورد<sup>6</sup> براساس مقادیر مشاهداتی آبشنستگی در خم‌های با بستر شنی، رابطه زیر را ارائه نمود [8] :

$$\frac{D_{\max}}{D} = 1.8 - 0.051 \left( \frac{r}{w} \right) + 0.0084 \left( \frac{w}{D} \right) \quad (2)$$

در این رابطه  $D_{\max}$  حداکثر عمق جریان (در ساحل خارجی) و  $D$  میانگین عمق جریان است. محدوده اعتبار رابطه (2)  $20 \leq \frac{w}{D} \leq 125$  و  $1.5 \leq \frac{r}{w} \leq 10$  است.

واتانب و همکاران<sup>7</sup> رابطه زیر را برای حداکثر عمق آبشنستگی ارائه دادند [9] :

$$\frac{d_{se}}{D} = A + B \left( \frac{w}{r} \right) \quad (3)$$

که  $A$ ،  $B$  تابعی از عرض مقطع، عمق جریان و شیب بستر است.

او دگارد<sup>1</sup> براساس داده‌های صحرایی چنین نتیجه گرفت که شبیه جانبی بستر با نسبت عمق جریان به شعاع انحناء ( $D/r$ ) متناسب است. وی همچنین نشان داد که وزن ذرات رسوب و نیروی بررشی، برخی از عوامل مهم و موثر بر حرکت عرضی رسوب است [2و3]. وی همچنین برای توزیع سرعت جریان و قطر ذرات بستر روابطی را ارائه کرد.

تورن<sup>2</sup> رابطه زیر را برای حداکثر عمق آبشنستگی ( $d_{se}$ ) براساس نسبت شعاع انحناء به عرض مقطع ( $\frac{r}{w}$ ) به دست آورد [4] .

$$\frac{d_{se}}{D} = 1.07 - \log \left( \frac{r}{w} - 2 \right) \quad 2 \leq \frac{r}{w} \leq 22 \quad (1)$$

ایکیدا و نیشیمورا<sup>3</sup> مدل ریاضی را برای شبیه‌سازی جریان سه‌بعدی و توپوگرافی بستر در کانال سینوسی شکل ارائه و نتایج آنرا با مقادیر آزمایشگاهی مقایسه و مشاهده کردند که حداکثر عمق آبشنستگی در زاویه 60 درجه از ابتدای خم اتفاق می‌افتد [5] .

بگین<sup>4</sup> نشان داد که نیروی وارد شده بر واحد سطح ساحل خارجی در خم، به ضریب انحناء و ضریب انحنا نیز به انحنا نسبی ( $\frac{r}{w}$ ) بستگی دارد. او براساس داده‌های صحرایی مشاهده کرد که حداکثر فرسایش کنار خارجی برای  $3 \leq \frac{r}{w} \leq 6$  روی می‌دهد [6] .

ین و هو<sup>5</sup> مدلی را برای شبیه‌سازی توپوگرافی بستر در خم رودخانه‌ها ارائه دادند. ایشان نتایج کارهای تحلیلی برای

6. Maynord (1996)

7. 1990( Wattanabe, Hasegawa and Houyou

1. Odgaard (1982)

2. Thorne (1983)

3. Ikeda & Nishimura (1986)

4. Begin (1986)

5. Yen & Ho (1990)

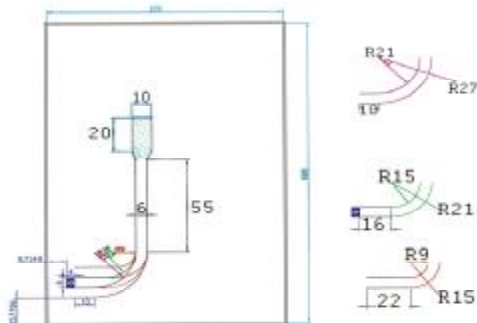
$$Fr_{d_{50}} = \frac{Q}{wD\sqrt{\Delta r_s} gd_{50}} \quad \text{عدد فرود}$$

$$\frac{\Delta r_s}{r} = \frac{r_s - r}{r} \quad \text{چگالی نسبی می باشد.}$$

نحوه وابستگی بین پارامترهای معادله (5) را به کمک داده‌های آزمایشگاهی می‌توان به دست آورد.

### 3- نحوه انجام آزمایشها

آزمایش‌های موردنظر در فلومی با عرض 60 و ارتفاع 70 سانتی‌متر که بستر آن با ماسه یکنواخت به قدر میانگین  $d_{50}=1/4$  میلی‌متر پوشیده شده بود و در انتهای مسیر مستقیم 5/5 متری خود قوس 90 درجه دارد طراحی و اجرا شد. فلوم موردنظر طوری طراحی شد که امکان تغییر شعاع انحنای آن و استفاده از شعاع‌های انحنای 1/2 و 2/4 متر وجود داشته باشد [12]. شکل 1 طرحواره فلوم را نشان می‌دهد.



شکل 1 طرحواره فلوم (ابعاد به دسی‌متر)

نحوه انجام آزمایشها بدین صورت بود که ابتدا دریچه پروانه‌ای تعییه شده در پایین‌دست فلوم را بالا آورده و اجازه می‌دهیم که جریان به‌آرامی به فلوم وارد شده و بدون ایجاد آبشتستگی، بر بستر جاری شود تا سطح آب

هزبزبر و اشليس<sup>1</sup> آزمایش‌های را در فلوم آزمایشگاهی 90 درجه، برای تعیین تأثیر زبری دیوار بر فرایند آبشتستگی طراحی و اجرا کردند [10].

قدسیان و موسوی به بررسی آزمایشگاهی آبشتستگی در یک قوس 90 درجه پرداختند و رابطه‌ای برای حداقل عمق آبشتستگی ارائه دادند

در این مقاله، نتایج آزمایش‌های انجام شده به منظور بررسی اثر برخی پارامترهای مهم (عمق و سرعت جریان و شعاع انحنای قوس) بر ابعاد حفره آبشتستگی در خم 90 درجه ارائه شده است [11].

### 2- تحلیل ابعادی

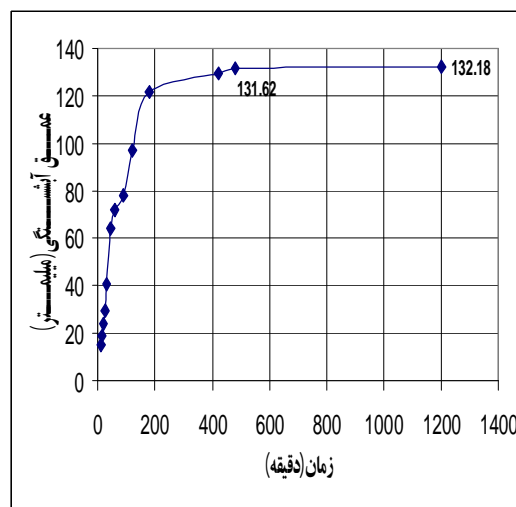
براساس تحقیقات صورت گرفته در زمینه آبشتستگی بستر، پارامترهای زیر بعنوان پارامترهای مؤثر بر عمق، طول و عرض آبشتستگی ( $d_s, l_s, W_s$ ) مطرح است:

$$(d_s, l_s, W_s) = f(Q, D, d, r, W, \rho, \rho_s, g) \quad (4)$$

در این رابطه  $Q$  دبی جریان،  $D$  عمق جریان ورودی به خم است که در بالادست خم و در مسیر مستقیم اندازه‌گیری می‌شود،  $d$  قطر میانگین مصالح،  $r$  شعاع انحنای کanal،  $W$  عرض مقطع جریان،  $r_s$  چگالی آب،  $R_s$  چگالی رسوبها و  $g$  شتاب ثقل است. با استفاده از تحلیل ابعادی، پارامترهای بدون بعد زیر به دست می‌آید:

$$\frac{d_s}{D}, \frac{l_s}{D}, \frac{W_s}{D}, \frac{l_s}{d_s}, \frac{W_s}{d_s}, \dots = f\left(\frac{r}{W}, \frac{D}{W}, Fr_{d_{50}}\right) \quad (5)$$

1. 2003 (Hersberber & Schlesis)



شکل ۲ تغییرات زمانی مقدار عمق آبشنستگی به بازی دبی ۴۵ لیتر بر ثانیه و عدد فرود ۰/۶

مشاهدات آزمایشگاهی نشان داد که در هر سه انحنای نسبی، به بازی عدد فرود ثابت، با افزایش دبی جریان مقدار عمق آبشنستگی و ارتفاع تپه رسوبی افزایش می‌باید. همچنین در دبی‌های بالا، تأثیر عدد فرود جریان مشخص‌تر است. به علاوه در هر سه انحنای نسبی به بازی دبی ثابت جریان، آبشنستگی و ارتفاع تپه رسوبی با افزایش عمق جریان افزایش می‌یابد. طول حفره آبشنستگی نیز با افزایش دبی و عدد فرود جریان بیشتر می‌شود. با افزایش دبی و عدد فرود جریان، مصالح از زاویه بالادست‌تر شروع به حرکت می‌کند و محل وقوع حداکثر عمق آبشنستگی در محدوده ۶۰-۹۰ درجه‌ای از ابتدای قوس و در بیشتر موارد در محدوده ۹۰-۸۰ درجه‌ای است. حداکثر ارتفاع رسوبگذاری در زوایای بعد از ۵۰ درجه تشکیل می‌شود. آزمایشها نشان داد که با افزایش دبی و عدد فرود جریان، مصالح از فاصله بیشتری از دیوار به‌طرف آن متمایل می‌شوند.

بالا آید. اندازه‌گیری دبی توسط روزنئه استاندارد و کالیبره شده‌ای که در مسیر جریان قرار گرفته، انجام شد. برای اندازه‌گیری عمق جریان از دستگاه سطح سنج نقطه‌ای دیجیتالی و برای اندازه‌گیری پروفیل بستر از دستگاه اندازه‌گیر پروفیل بستر استفاده شد. پس از تنظیم دبی، عمق موردنظر توسط دریچه‌ای تنظیم می‌گشت و سپس آزمایش شروع می‌شد. در پایان آزمایشها، تغییرات عرضی سطح آب توسط دستگاه سطح سنج نقطه‌ای دیجیتالی و پروفیل بستر توسط دستگاه اندازه‌گیر پروفیل بستر اندازه‌گیری می‌شد.

جدول (۱) محدوده پارامترها در آزمایشات انجام شده را نشان می‌دهد.

جدول ۱ محدوده پارامترها

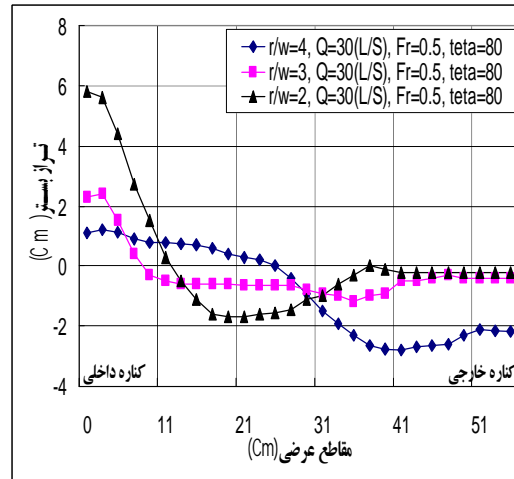
پارامتر	محدوده
دبی جریان (Lit/sec)	۱۵-۴۵
عدد فرود جریان (Fr)	۰/۴ - ۰/۶
انحنای نسبی (r/w)	۴ و ۳، ۲
نسبت عمق به عرض (D/w)	۰/۱ - ۰/۲۶
نسبت تنش برشی متوسط به تنش برشی بحرانی	۰/۷۲-۰/۹۹

#### 4- نتایج آزمایشات

به منظور تعیین زمان آزمایش، تعدادی آزمایش بلند مدت انجام شد. نمونه‌ای از نتیجه این آزمایشها در شکل (2) آورده شده است. روشن است که پس از حدود ۸ ساعت از شروع آزمایشها، آبشنستگی تقریباً به حالت تعادل رسیده طوری که، ۹۹/۶٪ آبشنستگی ۲۰ ساعته (حداکثر عمق آبشنستگی)، رخ داده و لذا زمان ۸ ساعت به عنوان زمان تعادل درنظر گرفته شده است.

## 1-4- تأثیر انحنای نسبی بر پروفیل عرضی بستر

در شکل های (3) و (4) تأثیر انحنای نسبی کانال بر ابعاد و جاب جایی حفره آبشتستگی و تپه رسوبی به ازای دبی 30 لیتر بر ثانیه و عدد فرود 0/5 در زاویه 40 درجه و 80 درجه قوس مشاهده می شود. در هردو شکل ملاحظه می شود که با کم شدن انحنای نسبی، بر ارتفاع تپه رسوبی در نزدیکی دیوار داخلی افزوده می شود. علاوه بر این، عمق آبشتستگی در نقاط میانی کانال با کم شدن انحنای نسبی بیشتر می شوداما در مجاورت دیوار خارجی چنین نیست. این نتیجه در مقطع 80 درجه به دلیل انحراف جریان بطرف دیواره داخلی، با حرکت جریان به پایین دست، مشهودتر است.

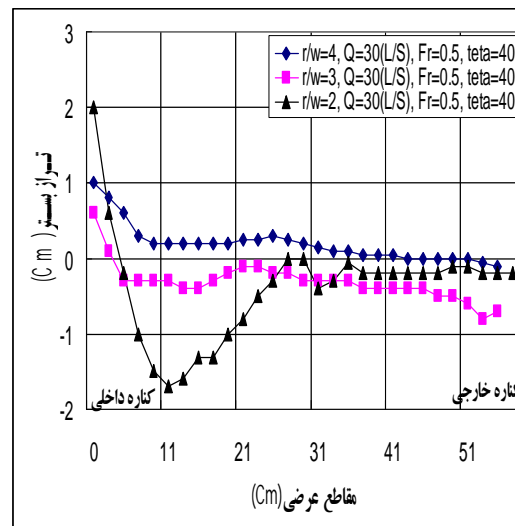


شکل 4 تغییرات پروفیل عرضی بستر در مقطع 80 درجه برای انحنای نسبی 3.2 و 4 به ازای دبی 30 لیتر بر ثانیه، عدد فرود 0/5

## 2-4- تأثیر انحنای نسبی و عدد فرود ذرات بر عمق آبشتستگی

بررسی پارامترهای بدون بعد حاصل از تحلیل ابعادی نشان دادکه در بیشتر موارد، عدد فرود ذرات، بهتر از عدد فرود جریان، با پارامترهای بی بعد شده حفره آبشتستگی، همخوانی نشان می دهد.

همچنین بررسی نتایج آزمایشها نشان داد که بی بعد کردن عمق آبشتستگی با عمق جریان  $d_s/D$ ، رابطه بدون بعد مناسب و منطقی تشکیل می دهد. شکل (5)، تغییرات  $d_s/D$  را بر حسب  $Fr_{d_{50}}$  برای انحنای نسبی 3.2 و 4 نشان می دهد. روشن است که افزایش عدد فرود ذرات، برای تمامی حالتها، افزایش عمق آبشتستگی را به دنبال دارد، که این ناشی از افزایش سرعت جریان و در نتیجه افزایش تنش برشی اعمال شده به بستر است. بررسی نتایج آزمایشگاهی نشان می دهد که به ازای نسبت  $D_w$  برابر یا کمتر از 0/15، انحنای نسبی کمتر از



شکل 3 تغییرات پروفیل عرضی بستر در مقطع 40 درجه برای انحنای نسبی 3.2 و 4 به ازای دبی 30 لیتر بر ثانیه و عدد فرود 0/5

$$e = \frac{\left( \frac{d_s}{D} \right)_c - \left( \frac{d_s}{D} \right)_m}{\left( \frac{d_s}{D} \right)_m} 100 \quad (7)$$

میانگین خطای  $E$  برای تمامی داده‌های آزمایشگاهی به - صورت زیر محاسبه می‌شود:

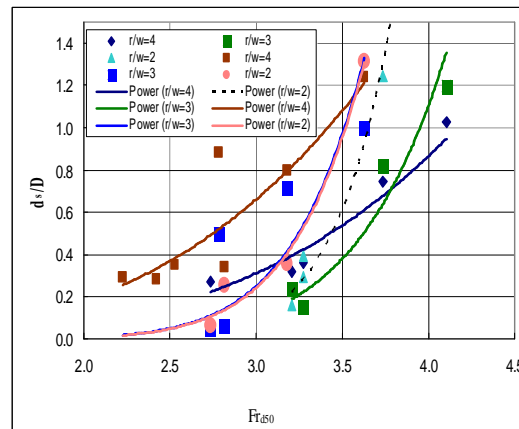
$$E = \frac{100}{N} \sum_1^N \left| \frac{\left( \frac{d_s}{D} \right)_c - \left( \frac{d_s}{D} \right)_m}{\left( \frac{d_s}{D} \right)_m} \right| \quad (8)$$

که در آن  $N$  تعداد داده‌های آزمایشگاهی و  $c$  و  $m$  به ترتیب نشانگر مقادیر محاسباتی و مشاهداتی است. میانگین خطای  $E$  با استفاده از روابط به دست آمده توسط تورن (معادله 1) و ماینورد (معادله 2) و رابطه (6) در جدول 2 مقایسه شده است. روشن است که رابطه (6) خطای کمتری در مقایسه با روابط قبلی داشته و از دقت خوبی برخوردار است.

جدول 2 درصد میانگین خطای  $E$  برای عمق نسبی آبشنستگی

رابطه ماینورد (معادله 2)	رابطه تورن (معادله 1)	مطالعه حاضر (معادله 6)
182	197	25/8

3 تأثیر معناداری بر عمق آبشنستگی ندارد. با بررسی بیشتر داده‌ها و مطابق معادله (5) مشخص شد که پارامتر نسبت عمق جریان به عرض مقطع  $D_w$  نیز بر عمق آبشنستگی مؤثر است. بنابراین می‌توان گفت که  $d_s/D$  تابعی از  $D_w/r_w$  و  $Fr_{d_{50}}$  است.



شکل 5 تغییرات عمق نسبی آبشنستگی بر حسب عدد فرود ذرات و انحنای نسبی

با استفاده از نتایج آزمایشگاهی، بهترین رابطه برای محاسبه عمق آبشنستگی بر حسب عدد فرود ذرات، انحنای نسبی و عمق نسبی به صورت زیر به دست آمد:

$$\frac{d_s}{D} = 1.61 * 10^{-5} Fr_{d_{50}}^{5.34} \left( \frac{r}{w} \right)^{0.82} \left( \frac{D}{w} \right)^{-1.68} \quad (6)$$

عمق آبشنستگی نسبی محاسباتی  $e$  ( $d_s/D$ ) با عمق آبشنستگی نسبی اندازه‌گیری شده  $m$  ( $d_s/D$ ) مقایسه شد و خطای حاصل  $e$  به صورت زیر به دست آمد :

### 3-3- تأثیر انحنای نسبی و عدد فرود ذرات بر طول حفره آبشنستگی

به منظور بررسی اثر انحنای نسبی بر طول حفره آبشنستگی، ابتدا پارامترهای بدون بعد مؤثر بر طول حفره آبشنستگی

رابطه زیر بین نسبت طول حفره آبستستگی به عمق حفره آبستستگی، عدد فرود ذرات و انحنای نسبی به دست آمد:

$$\frac{l_s}{d_s} = 1700 Fr_{d_{50}}^{-2.87} \left( \frac{r}{w} \right)^{-0.4} \quad (9)$$

خطای میانگین ناشی از رابطه فوق برای داده‌های آزمایشگاهی برابر  $26/5$  درصد به دست آمد. ارتباط بین طول آبستستگی و عمق جریان، با استفاده از

داده‌های آزمایشگاهی به صورت تغییرات  $\frac{l_s}{D}$  بر حسب  $\frac{r}{w}$  به صورت زیر به دست آمد:

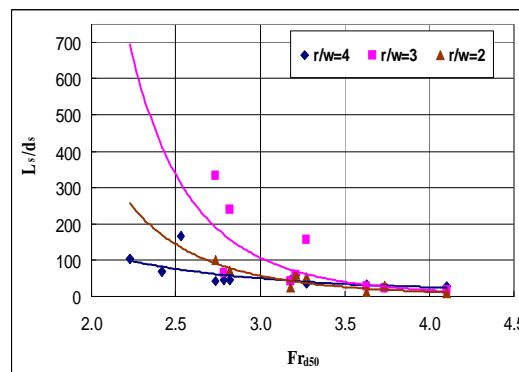
$$\frac{l_s}{D} = 5.6 Fr_{d_{50}}^{-0.14} \frac{r}{w} \quad (10)$$

میانگین خطای ناشی از رابطه فوق برای داده‌های آزمایشگاهی برابر  $33/2$  درصد به دست آمد.

#### ۴-۴- تأثیر انحنای نسبی و عدد فرود ذرات بر عرض حفره آبستستگی

در این قسمت به بررسی اثر انحنای نسبی و عدد فرود ذرات بر عرض حفره آبستستگی می‌پردازیم. بررسی داده‌های آزمایشگاهی نشان می‌دهد که در این مورد نیز عدد فرود ذرات با عرض نسبی آبستستگی همخوانی مناسبی نشان می‌دهد. علاوه بر این مشخص شد که نسبت  $D/w$  بر عرض آبستستگی اثرگذار نیست. تغییرات نسبت عرض به عمق آبستستگی  $\frac{W_s}{d_s}$  بر حسب عدد فرود ذرات  $Fr_{d_{50}}$  برای نسبتهای انحنای نسبی برابر  $4/3$  در شکل (7) نشان داده شده است.

که از تحلیل ابعادی به دست آمده بودند بررسی و مشاهده شد که عدد فرود ذرات با طول نسبی آبستستگی، همخوانی مناسبی را نشان می‌دهد. به علاوه بررسی داده‌های آزمایشگاهی نشان داد که پارامتر  $D/w$  اثر قابل توجهی بر طول حفره آبستستگی ندارد. شکل (6) تغییرات نسبت طول به عمق آبستستگی  $\frac{l_s}{d_s}$  را بر حسب عدد فرود ذرات  $Fr_{d_{50}}$  برای نسبت انحنای نسبی برابر  $3, 2$  و  $4$  نشان می‌دهد.



شکل 6 تغییرات طول نسبی حفره آبستستگی بر حسب عدد فرود ذرات برای مقادیر مختلف انحنای نسبی

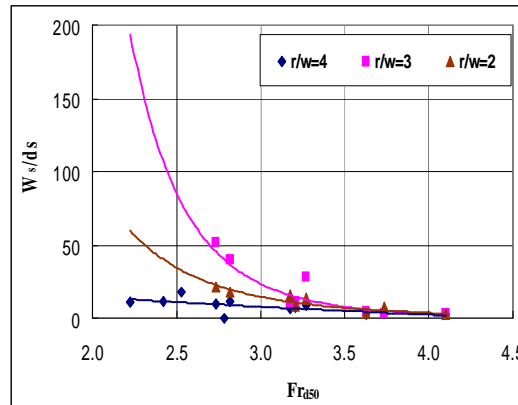
این شکل نشان می‌دهد که با افزایش عدد فرود ذرات، نسبت  $\frac{l_s}{d_s}$  کاهش می‌یابد. تاثیر  $Fr_{d_{50}}$  به ترتیب برای انحنای نسبی  $3, 2$  و  $4$  بیشتر است یعنی از انحنای نسبی  $2$  تا  $3$  نسبت  $\frac{l_s}{d_s}$  بیشتر می‌شود. اما از انحنای نسبی  $3$  تا  $4$ ، این نسبت کم می‌شود. به ازای عدد فرود ذرات بزرگتر از حدود  $3/5$ ، نسبت  $\frac{l_s}{d_s}$  متاثر از انحنای نسبی نخواهد بود. با استفاده از نتایج آزمایشگاهی،

$$\frac{W_s}{D} = 3.5 Fr_{d_{50}}^{-0.07} \left( \frac{r}{w} \right)^{-0.06} \quad (12)$$

خطای میانگین ناشی از رابطه فوق برای داده‌های آزمایشگاهی برابر  $2/32$  درصد به دست آمد. در شکل‌های 8 و 9 نمونه‌ای از پروفیل بستر به ازای دبی 45 لیتر بر ثانیه و عدد فرود 0/5 برای انحنای نسبی 4 نشان داده شده است. در این شکل خطوط همتراز ممتد بیانگر رسوگذاری و خطوط همتراز منقطع آبشتستگی را نشان می‌دهد که به سانتی‌متر است. در این شکل نیز مشاهده می‌شود که بیشتر آبشتستگی و رسوگذاری درزاویه‌های  $80\text{--}90^\circ$  درجه رخ می‌دهد. با مقایسه این دو شکل نتیجه می‌شود که با کم شدن انحنای نسبی، عرض حفره آبشتستگی و طول حفره آبشتستگی بیشتر می‌شود اما ارتفاع تپه رسوی در مجاورت دیوار خارجی کمتر می‌شود. ارتفاع تپه رسوی نیز با کم شدن انحنای نسبی کم می‌شود.

#### 4- نتیجه‌گیری

به عنوان نتیجه حاصل از این آزمایشها می‌توان گفت:  
1- در هر سه انحنای نسبی، با افزایش دبی جریان، عمق آبشتستگی و ارتفاع تپه ایجاد شده بر اثر رسوگذاری افزایش می‌یابد.



شکل 7 تغییرات عرض نسبی حفره آبشتستگی بر حسب عدد فرود ذرات برای مقادیر مختلف انحنای نسبی

شکل (7) نشان می‌دهد که با افزایش عدد فرود ذرات، نسبت  $\frac{W_s}{d_s}$  کاهش می‌یابد. تأثیر  $Fr_{d_{50}}$  به ترتیب بر انحنای نسبی 3 و 4 بیشتر است یعنی از انحنای نسبی 2 تا 3، نسبت  $\frac{W_s}{d_s}$  بیشتر شده و از انحنای نسبی 3 تا 4، این نسبت کم می‌شود. به علاوه به ازای عدد فرود ذرات بزرگتر از حدود 3/5، نسبت  $\frac{W_s}{d_s}$  متاثر از انحنای نسبی نخواهد بود. با استفاده از نتایج آزمایشگاهی، بهترین رابطه‌ای که بین نسبت عرض حفره آبشتستگی به عمق حفره آبشتستگی، عدد فرود ذرات و انحنای نسبی وجود دارد، به قرار زیر به دست آمد:

$$\frac{W_s}{d_s} = 350 Fr_{d_{50}}^{-2.67} \left( \frac{r}{w} \right)^{-0.8} \quad (11)$$

خطای میانگین ناشی از رابطه فوق برای داده‌های آزمایشگاهی برابر  $5/27$  درصد به دست آمد.

ارتباط بین عرض آبشتستگی و عمق جریان، با استفاده از داده‌های آزمایشگاهی بصورت تغییرات  $\frac{W_s}{D}$  بر حسب  $Fr_{d_{50}}$  و  $\frac{r}{W}$ ، بصورت رابطه زیر به دست آمد:

2- در دبی های کم، اثر عدد فرود جریان در افزایش عمق آبستگی و ارتفاع تپه رسوی کمتر است در حالی که در دبی های بالا، اثر عدد فرود بیشتر می شود.

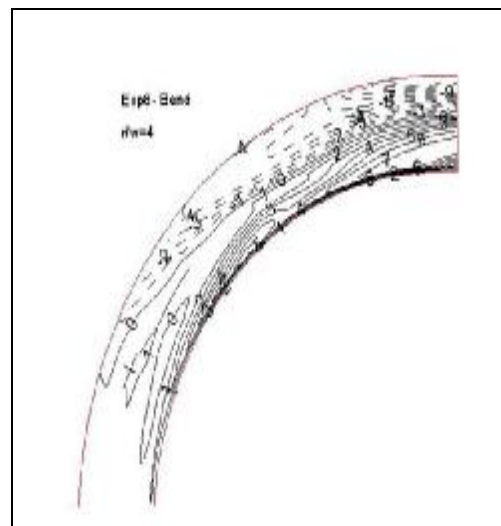
3- با افزایش دبی و عدد فرود جریان، هم تعداد تپه های رسوی بیشتر می شود و هم بر سرعت آنها افزوده می شود و تپه ها در مدت زمان کمتری از قوس خارج می شوند.

4- در بیشتر آزمایشها محل حداکثر عمق آبستگی با افزایش دبی و عدد فرود جریان و با گذشت زمان، به سمت پایین دست منتقل می شود. محل وقوع حداکثر عمق آبستگی در موقعیت حدود 60-90 درجه از ابتدای قوس و در بیشتر موارد در محدوده زاویه 90-80 درجه است.

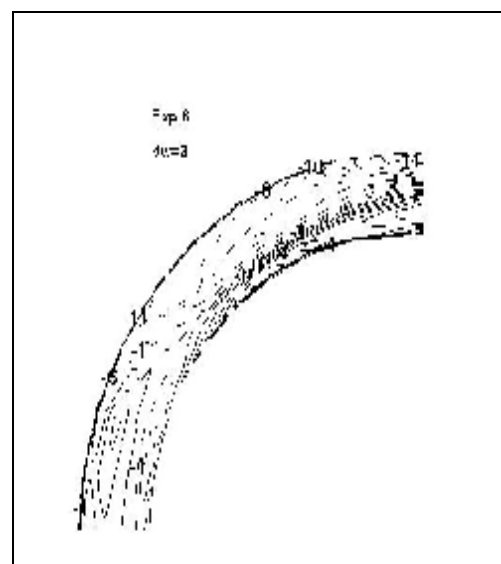
5- با کم شدن انحنای نسبی، حفره آبستگی به سمت وسط مقطع و تپه رسوگذاری به طرف دیوار داخلی حرکت می کند. به علاوه عمق حفره آبستگی در ساحل خارجی نیز کاهش می یابد.

6- در بیشتر آزمایشها با کاهش انحنای نسبی، عمق آبستگی افزایش می یافته.

7- روابط جدیدی برای تخمین ابعاد حفره آبستگی در خم 90 درجه ارائه شد.



شکل 8 پروفیل بستر بهازی دبی 45 لیتر بر ثانیه و عدد فرود 0/5 در انحنای نسبی 4



شکل 9 پروفیل بستر بهازی دبی 45 لیتر بر ثانیه و عدد فرود 0/5 در انحنای نسبی 3

## 5- مراجع

- [1] Rozovskii, I. L., "Flow of Water in Bend of Open Channel", Academy of science of the Ukraine SSR, Institute of hydrology and hydraulic engineering, (1957).
- [2] Odgaard A.J., "Transverse Bed Slope in Alluvial Channel Bends", *Journal of Hydraulic Engineering*, ASCE, Vol. 107, No.12, (1981), pp. 166-169.
- [3] Odgaard A.J., "Bed Characteristics in Alluvial Channel Bends", *Journal of*

- [9] Watanabe, Y., Hasegawa, K. and Houjyou, K., "Influence of Hydraulic Factors on River Bed Scour", *Journal of Hydro science and Hydraulic Engineering*, Tokyo, Japan, Vol. 8, No. 2, (1990) pp.53-63.
- [10] Hersberger D. S. and Schleiss A. J., "Influence of the Wall Macro-Roughness on the Scour Process in Curved Channels", *Proceedings of the XXX IAHR Congress*, Theme C, Thessaloniki, Greece, 24-29 August 2003, pp. 333-340.
- [11] Ghodsian, M. and Mousavi, S. K., "Experimental Study on Bed Scour in a 90° Channel Bend", *International journal of Sediment Research*, Vol. 21, No. 4, (2006), pp. 321-328.
- [۱۲] موسوی، سید کمال الدین، "بررسی آزمایشگاهی تأثیر شعاع انحنای کانال بر آبشارتگی بستر در یک خم 90 درجه" ، پایان نامه کارشناسی ارشد، دانشکده فنی، دانشگاه تربیت مدرس، ۱۳۸۲، ۱۲۰.
- Hydraulic Engineering*, ASCE, Vol. 108, No.11, (1982), pp. 1268-1281.
- [4] Thorne, C. R., "Prediction of Near-bank Velocity and Scour Depth in Meander Bends for Design of Riprap Revetments", Riprap workshop, Fort Collins, Colorado, (1993), pp 980-1007.
- [5] Ikeda S. and Nishimura, T., "Flow and Bed Profile in meandering Sand-silt Rivers", *Journal of Hydraulic Engineering*, ASCE, Vol. 112, No.7, (1986), pp 562-579.
- [6] Ze'ev B. Begin, "Curvature Ratio and Rate of River Bend Migration", *Journal of Hydraulic Engineering*, ASCE, Vol. 112, No. 10, (1986), pp. 904-908.
- [7] Chin-lien Yen and Shin Ya Ho, "Bed Evolution in Channel Bends", *Journal of Hydraulic Engineering*, Vol. 116, No. 4, (1981), pp. 544-562.
- [8] Maynard, S.T, "Toe Scour Estimation in Stabilized Bend ways", *Journal of Hydraulic Engineering*, ASCE, Vol. 122, No.8, (1996 ), pp. 460-464.